

467

ОБЪЕДИНЕННЫЙ ИНСТИТУТ ЯДЕРНЫХ ИССЛЕДОВАНИЙ

Лаборатория ядерных проблем

Лаборатория теоретической физики

Л.И.Лапидус, Чжоу Гуан-чжао

Д-467

ДИСПЕРСИОННЫЕ СООТНОШЕНИЯ
И АНАЛИЗ ЗАВИСИМОСТИ СЕЧЕНИЙ
В БЛИЗИ ПОРОГОВ НОВЫХ РЕАКЦИЙ

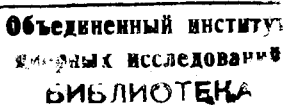
ЖЭТФ, 1960, т 39, в 1, с. 112-119.

Л.И.Лапидус, Чжоу Гуан-чжао

D-467

526/2
дисперсионные соотношения
и анализ зависимости сечений
вблизи порогов новых реакций

Статья направлена в ЖЭТФ.



Обсуждается применение дисперсионных соотношений к анализу зависимости амплитуд рассеяния /и реакций/ вблизи порогов новых реакций.

Получены общие выражения, которые характеризуют энергетические немонотонности амплитуд рассеяния вперед.

Рассмотрена энергетическая зависимость одной из амплитуд упругого рассеяния γ -квантов дейtronами вблизи порога фоторасщепления дейтрана.

1.

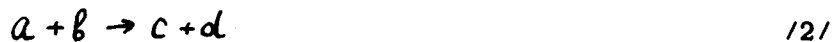
Рассмотрение рассеяния γ -квантов нуклонами вблизи порога рождения пионов^{/1/} показало, что дисперсионные соотношения автоматически приводят к появлению скачков производной от действительной части амплитуды, если учесть зависимость от энергии сечения реакции вблизи порога^{x/}.

В рамках дисперсионных соотношений вопрос появления скачков производных амплитуды рассеяния вперед связан с анализом интегралов вида

$$\frac{k_0^2}{4\pi^2} \rho \int \frac{d\omega}{\kappa} \frac{\sigma_{\pm}(\omega)}{\omega \pm \omega_0}, \quad /1/$$

где приняты обычные обозначения, а полное сечение $\sigma(\omega)$ включает как сечение упругого $\sigma_s(\omega)$, так и неупругого взаимодействия $\sigma_c(\omega)$.

Зависимость $\sigma_c(\omega)$ вблизи порога бинарной реакции



с участием частиц с массами μ /налетающая/, M /мишень/, m и m' дается выражением

$$\sigma_c(\omega) = B \frac{q_c}{K_c}, \quad /3/$$

где q_c и K_c - импульсы до и после столкновения /в с.ц.м./, а B - постоянная.

Нетрудно видеть, что

$$\left(\frac{q_c}{K_c} \right)^2 = \frac{(\omega - \omega_t)(\omega + \omega_t - \delta)}{\omega^2 - \mu^2}, \quad /4/$$

^{x/} Немотонности вблизи порога рождения пионов феноменологически были рассмотрены в дипломной работе Г.Устиновой и в^{/2/}.

где $\omega = (\kappa^2 + \mu^2)^{1/2}$ — полная энергия налетающей частицы в лабораторной системе,

$$\omega_t - \mu = \frac{(m+m)^2 - (m+\mu)^2}{2M}$$

/5/

—пороговая энергия реакции /2/, а

$$\delta = \frac{m^2 + m^2 - \mu^2 - M^2}{M}.$$

/6/

Кинематические параметры $\omega_t - \mu$ и δ для ряда процессов приведены в таблице.

Т а б л и ц а

Процесс	$\omega_t - \mu$ в Мэв	δ в Мэв	$\delta/2\omega_t$ в %
$\gamma N \rightarrow N\pi$	150	20,8	7
$\pi^0 p \rightarrow \pi^+ n$	6,1	3,88	1,33
$K^- p \rightarrow K^0 n$	8,1	6,8	0,8
$K^+ n \rightarrow K^0 p$	4,1	1,6	0,16
$\delta p \rightarrow \Lambda K$	905	642	35,5
$\pi p \rightarrow \Lambda K$	755	620	34,8
$\bar{p} p \rightarrow \bar{\Sigma}^0 \Sigma^0$	1180	1175	27,8

Применение дисперсионных соотношений дает возможность рассмотреть как "локальные эффекты" вблизи самого порога, которые в некоторых случаях приводят к резким "пикам", "провалам" и "ступенькам", так и общее влияние неупругих процессов, протекающих в какой-то области энергий, на процессы при данной энергии. Напомним, что соотношения унитарности S -матрицы дают возможность учесть влияние на данный процесс других процессов, протекающих при данной энергии.

2.

Изучение γN — рассеяния показало, что из шести скалярных амплитуд, которыми описывается матрица перехода в этом случае, лишь в двух из

них имеются "локальные эффекты". Наличие сильно зависящих от энергии других амплитуд затрудняет анализ.

Для детального анализа влияния неупругих процессов необходимо рассматривать дисперсионные соотношения для неравных нулю передач импульса Q^2 , а также, возможно, двойные дисперсионные соотношения.

В настоящей работе мы ограничиваемся рассмотрением дисперсионных соотношений по полной энергии при $Q^2 = 0$ для скалярной функции $A(\omega)$, равной следу матрицы рассеяния.

$$A(\omega) = \text{Sp} M(\omega, Q^2=0),$$

/7/

мнимая часть которой связана с полным сечением.

Вклад неупругих процессов в $D = \text{Re } A(\omega)$ характеризуется двумя интегралами:

$$\frac{k_0^2}{4\pi^2} P \int \frac{d\omega}{\kappa} \frac{\sigma_c^-(\omega)}{\omega - \omega_0}$$

/8/

и

$$\frac{k_0^2}{4\pi^2} P \int \frac{d\omega}{\kappa} \frac{\sigma_c^+(\omega)}{\omega + \omega_0},$$

/9/

где σ_c^- - полное сечение реакции /2/, а σ_c^+ - сечение реакции, кроссимметричной с /2/.

Интересуясь зависимостью от энергии реальной части величины $A(\omega)$ в /7/, вычислим интегралы

$$\frac{k_0^2}{4\pi^2} P \int_{\omega_t}^{\omega_1} \frac{d\omega}{\kappa} \frac{\sigma_c^-(\omega)}{\omega - \omega_0} = \frac{B^- k_0^2}{4\pi^2} P \int_{\omega_t}^{\omega_1} \frac{[(\omega - \omega_0)(\omega + \omega_0 - \delta)]^{1/2}}{\kappa^2 \omega - \omega_0} = \frac{k_0^2 B^-}{4\pi^2} \Pi(\omega_0)$$

/10/

и

$$\frac{k_0^2}{4\pi^2} P \int_{\omega_t}^{\omega_1} \frac{d\omega}{\kappa} \frac{\sigma_c^+(\omega)}{\omega + \omega_0} = \frac{k_0^2 B^+}{4\pi^2} \Pi(-\omega_0),$$

/11/

где область интегрирования распространена от порога ω_t до ω_1 - границы области S - состояния в \mathbf{b}_c , где еще справедливо /3/. Если ввести обозначения

$$\alpha(\omega_0) = (\omega_0 - \omega_t)(\omega_0 + \omega_t - \delta) ; \quad \alpha(-\omega_0) = (\omega_0 + \omega_t)(\omega_0 - \omega_t + \delta)$$

$$R = (\omega_1 - \omega_t)(\omega_1 + \omega_t - \delta),$$

/12/

то нетрудно получить, что

$$\kappa^2 \Pi(\omega_0) = - \left\{ \Psi(\omega_0) - \frac{1}{2} \left(1 + \frac{\omega_0}{\mu} \right) \Psi(\mu) - \frac{1}{2} \left(1 - \frac{\omega_0}{\mu} \right) \Psi(-\mu) \right\},$$

/13/

где

$$\Psi(\mu) = \sqrt{-\alpha(\mu)} \left[\frac{\pi}{2} + \operatorname{arctg} \frac{(2\mu - \delta)(\omega_1 - \mu) + 2\alpha(\mu)}{2\sqrt{-\alpha(\mu)R}} \right]$$

/13'/

$$\Psi(-\mu) = \sqrt{-\alpha(-\mu)} \left[\frac{\pi}{2} - \operatorname{arctg} \frac{(2\mu + \delta)(\omega_1 + \mu) - 2\alpha(-\mu)}{2\sqrt{-\alpha(-\mu)R}} \right],$$

a

$$\Psi(\omega_0) = \sqrt{-\alpha(\omega_0)} \left[\frac{\pi}{2} + \operatorname{arctg} \frac{(2\omega_0 - \delta)(\omega_1 - \omega_0) + 2\alpha(\omega_0)}{2\sqrt{-\alpha(\omega_0)R}} \right]$$

/14/

если $\omega_0 \leq \omega_t$, и

$$\Psi(\omega_0) = \sqrt{\alpha(\omega_0)} \ln \left| \frac{2\alpha(\omega_0) + (2\omega_0 - \delta)(\omega_1 - \omega_0) + 2\sqrt{\alpha(\omega_0)R}}{(\omega_1 - \omega_0)(2\omega_t - \delta)} \right|$$

/14'/

если

$$\omega_0 \geq \omega_t.$$

Выражение для $\kappa^2 \Pi(-\omega_0)$ получается из /13/ и /14/ заменой

$$\omega_0 \rightarrow -\omega_0.$$

К скачкам первой производной $D_-(\omega)$ приводит $\Psi(\omega_0)$. Для возникающей при этом зависимости от энергии характерно бесконечное значение производной со стороны $\omega_0 < \omega_t$ и конечное ее значение, если подходит к $\omega_0 = \omega_t$ из области $\omega_0 > \omega_t$.

Может показаться, что $\kappa^2 \Pi(-\omega_0)$, т.е. результат подстановки /3/ и /4/ в /8/, тоже содержит скачки производной при $\omega_0 = \omega_t - \delta$. Однако изменение знака ω_0 в /14/ сразу показывает, что это не так. Значение производной от $\kappa^2 \Pi(-\omega_0)$, вычисленное при подходе к $\omega_0 = \omega_t - \delta$ с обеих сторон, совпадает.

Таким образом, хотя при релятивистском рассмотрении кросссимметричные неупругие процессы и дают вклад в действительную часть амплитуды рассеяния, к немонотонности в зависимости амплитуды от энергии они не приводят.

При применении дисперсионных соотношений получаются детальные сведения о величине и полуширине околовороговой аномалии.

Полуширину ε спада в область $\omega_0 < \omega_t$ грубо можно оценить следующим образом.

Вблизи ω_t ($\omega_0 < \omega_t$) $x \gg 1$

$$\operatorname{arctg} x = \frac{\pi}{2} - \frac{1}{x} \quad /15/$$

и

$$\Phi(\omega_0) = \pi \sqrt{-a}. \quad /16/$$

Определяя полуширину $\varepsilon = \omega_t - \omega_0$ как то значение, при котором

$$\Im(\varepsilon) = \frac{1}{2} \Im(\omega_t) \quad /17/$$

и учитывая /16/, получим

$$\Im(\omega_t) - \frac{B}{4\pi} \sqrt{(\omega_t - \omega_0)(\omega_0 + \omega_t - \delta)} = \frac{1}{2} \Im(\omega_t), \quad /18/$$

откуда

$$\varepsilon \approx \frac{1}{8(\omega_t - \delta/2)} \left[\frac{\Im(\omega_t)}{B/4\pi} \right]^2. \quad /19/$$

В предельном случае, когда вкладом в $\Im(\omega_t)$, не связанным с /10/ и /11/, можно пренебречь

$$\mathcal{D}(\omega_t) = \frac{B}{4\pi^2} J(\omega_t)$$

и

$$\frac{\mathcal{D}(\omega_t)}{B/4\pi} = \frac{1}{\pi} J(\omega_t).$$

/20/

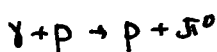
Из /13/ получим, что

$$\frac{1}{\pi} J(\omega_t) = \frac{1}{2\pi} \left[\left(1 + \frac{\omega_t}{\mu}\right) \psi(\mu) + \left(1 - \frac{\omega_t}{\mu}\right) \psi(-\mu) \right].$$

/21/

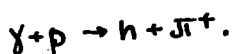
3.

Рассмотрим фоторождение нейтральных пионов



/22/

вблизи порога реакции



/23/

В этой области энергии достаточно учесть электрический дипольный переход. Обозначим через E^0 и E^+ элементы перехода для нейтральных и заряженных мезонов, соответственно.

Из условия унитарности и того экспериментального факта, что $\operatorname{Re} E^0 \approx 0$ получаем, что

$$I_m E^0 = \frac{\sqrt{2}}{3} (\alpha_3 - \alpha_1) \operatorname{Re} E^+,$$

/24/

где α_3 и α_1 - соответствующие фазы $\pi^- N$ - рассеяния. Подставляя экспериментальные данные для α_3 , α_1 и E^+ мы получаем

$$I_m E^0 = \frac{\sqrt{2}}{3} (\alpha_3 - \alpha_1) q_0^{1/2} q_+^{1/2} \sqrt{\frac{q_+}{V}} \cdot 3.3 \cdot 10^{-15} \text{ см.} = \frac{\sqrt{2}}{3} E_1 (\alpha_3 - \alpha_1) q_0^{1/2} q_+^{1/2} V^{-1/2}$$

где

$$q_0^{1/2} \approx (v^2 - v_{0t}^2)^{1/4}, \quad q_+ \approx (v^2 - v_{+t}^2)^{1/2}.$$

/25/

Аномалии у порога определяются интегралом вида

$$P \int_{v_{et}}^{v_1} dv \frac{(v^2 - v_{et}^2)^{1/4} (v^2 - v_{+et}^2)^{1/2}}{v^{1/2} (v - v_0)},$$

/28/

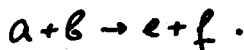
"пиковые" особенности которого несомненны.

В общем случае аналогично можно рассмотреть сечение реакции



/27/

вблизи порога реакции



/28/

Если порог реакции /28/ расположен далеко от порога реакции /27/, всегда можно найти область энергий, где

$$\text{Im } M_{ab \rightarrow cd} = M_{ab \rightarrow ef} M_{ef \rightarrow cd}^+ + \dots = A q + \dots ;$$

/29/

здесь A является слабо меняющейся функцией энергии, а q — относительный импульс системы ef . Другие слагаемые в сумме $\text{Im } M_{ab \rightarrow cd}$ также являются медленно меняющимися функциями энергии, если вблизи не имеется порогов других реакций.

В этом случае дисперсионный интеграл имеет обычную форму и мы можем определить величину и полуширину "пика" или "провала" так же, как и в случае рассеяния.

В случае такого процесса, как фотообразование пионов

$$\text{Im } M_{ab \rightarrow cd} = A q q^{1/2} + \dots$$

/30/

так как порог реакции $ab \rightarrow ef$ близок к порогу $ab \rightarrow cd$.

В этих случаях дисперсионные интегралы довольно сложны и провести интегрирования нам не удалось.

4.

Таким образом, условия причинности и унитарности вместе с /3/ и /4/ приводят к скачкам первой производной действительной части амплитуды с обращением в бесконечность значения производной со стороны $\omega_0 < \omega_t$. Обращение в бесконечность именно первой производной связано с видом зависимости /3/ и /4/. Зависимость сечения реакции /2/, когда ее продукты находятся в состоянии с отличным от нуля ℓ , дается выражением

$$\tilde{\sigma}_c^{(\ell)} = B_\ell \left[\frac{(\omega - \omega_t)(\omega + \omega_t - \delta)}{\omega^2 - \mu^2} \right]^{\ell + \frac{1}{2}}. \quad /31/$$

Подстановка /31/ в /8/ приводит к обращению в бесконечность ℓ -той производной.

Может быть интересно отметить, что по сравнению с нерелятивистским рассмотрением при использовании дисперсионных соотношений не пришлось предполагать аналитичности парциальных амплитуд. Оказалась достаточной аналитичность амплитуды рассеяния по полной энергии с ограниченным значением передач импульса $Q^2 < Q_{max}^2$.

Как показал Базь, унитарность S -матрицы приводит к тому, что с ростом числа каналов эффект в каждом канале уменьшается. Анализ γ^N -рассеяния вблизи порога фоторождения пионов, когда лишь в 2-х из 8-ти скалярных функциях содержались "пиковье" эффекты, показал, что с ростом спина частиц эффект также смягчается.

В теории дисперсионных соотношений важным пунктом являются соображения о сходимости дисперсионных интегралов при высоких энергиях, или, что то же самое, о числе вычитаний. Основное обсуждение в настоящей работе проводится для дисперсионных соотношений с одним вычитанием. В случае дисперсионных соотношений без вычитания

$$k^2 P \int \frac{d\omega}{K} \cdot \frac{\epsilon}{\omega - \omega_0} \rightarrow P \int \frac{d\omega K \epsilon}{\omega - \omega_0}. \quad /32/$$

При достаточно высокой точности эксперимента различие между /8/ и /32/ может дать сведения о числе вычитаний.

Отметим вкратце, какие особенности могут появиться вблизи порога реакции



/33/

Подстановка в /8/ сечения реакции /33/ в виде

$$\sigma_c = B' \frac{P_c^4 \max}{\kappa_c} \cong \Gamma (\omega - \omega_t)^2$$

/продукты реакции в S' -состоянии/ дает

$$\int_{\omega_t}^{\omega_1} \frac{5d\omega}{\omega - \omega_0} \cong \Gamma \int_{\omega_t}^{\omega_1} \frac{d\omega (\omega - \omega_t)^2}{\omega - \omega_0} = \Gamma \left\{ \frac{1}{2} \left[(\omega_1 - \omega_0)^2 - (\omega_t - \omega_0)^2 \right] + \right. \\ \left. + 2(\omega_0 - \omega_t)(\omega_1 - \omega_t) + (\omega_0 - \omega_t)^2 \ln \left| \frac{\omega_1 - \omega_0}{\omega_t - \omega_0} \right| \right\},$$

/34/

что приводит к логарифмической бесконечности во второй производной от $D(\omega)$.

Для реакции с четырьмя частицами в конечном / S' / состоянии $(\omega_0 - \omega_t)^2 \ln |\omega_t - \omega_0|$ заменяется на $(\omega_0 - \omega_t)^5 \ln |\omega_t - \omega_0|$. Подобные зависимости в действительной части амплитуды рассеяния появляются на порогах всех реакций.

Хорошо известным в литературе примером применения дисперсионных соотношений является анализ когерентного рассеяния фотонов в кулоновском поле ядра /3/ [см. /4/]

Нетрудно убедиться, что реальная часть амплитуды рассеяния вблизи $\omega = 2m$ ($\gamma = \frac{\omega}{2m} = 1$) — порога образования электрон-позитронной пары содержит зависимость типа $x^k \ln x$ ($x = \gamma - 1$). Чтобы увидеть это, достаточно рассмотреть выражение для реальной части амплитуды

$$D(\omega) = \frac{Z^2}{m} \left(\frac{e^2}{4\pi} \right)^3 \left\{ \frac{1}{\gamma \pi} \left[2C_1(\gamma) - D_1(\gamma) \right] + \frac{\gamma}{27\pi} \left[\left(109 + \frac{64}{\gamma^2} \right) E_1(\gamma) - \right. \right. \\ \left. \left. - \left(67 - \frac{6}{\gamma^2} \right) \left(1 - \frac{1}{\gamma^2} \right) F_1(\gamma) \right] - \frac{1}{9\gamma^2} - \frac{9}{4} \right\},$$

/35/

где

$$C_1(y) = \operatorname{Re} \int_0^y \frac{\arcsin x}{x} \operatorname{arch}\left(\frac{y}{x}\right) dx ; \quad C_1(1) = 1,62876$$

$$D_1(y) = \operatorname{Re} \int_0^y \frac{\operatorname{arch}\left(\frac{y}{x}\right)}{(1-x^2)^{1/2}} dx ; \quad D_1(1) = 1,83133$$

$$E_1(y) = \begin{cases} E\left(\frac{1}{y}\right) & (y \geq 1) \\ \frac{1}{y} E(y) + \left(y - \frac{1}{y}\right) K(y) & (y \leq 1) \end{cases}$$

$$F_1(y) = \begin{cases} K\left(\frac{1}{y}\right) & (y \geq 1) \\ y K(y) & (y \leq 1) , \end{cases}$$

а $K(y)$ и $E(y)$ — полные эллиптические интегралы первого и второго рода, соответственно. Как известно, при $1 - y^2 \ll 1$

$$K(y) = 1 + (1-y) \frac{1-y^2}{4} + \frac{9}{64} \left(1 - \frac{7}{6}\right) (1-y^2)^2 + \frac{25}{256} \left(1 - \frac{37}{30}\right) (1-y^2)^3 + \dots$$

/36/

$$E(y) = 1 + \frac{1}{2} \left(1 - \frac{1}{2}\right) (1-y^2) + \frac{3}{64} \left(1 - \frac{13}{12}\right) (1-y^2)^2 + \dots$$

$$\left(1 = \ln \frac{4}{\sqrt{1-y^2}}\right) ,$$

что и доказывает существование зависимости вида $x^k \ln x$. Нетрудно убедиться, что рассеяние света на свете вблизи порога реакции $\gamma + \gamma \rightarrow e^- + e^+$ является известным в квантовой электродинамике процессом, амплитуда которого характеризуется "локальной" аномалией /см. фиг. 2-4 в ^{5/} /^{x/}, а амплитуда комптон-эффекта содержит $x^2 \ln x$ зависимость вблизи порога реакции $\gamma + e \rightarrow 2e + e^+$. ^{6,7/} Относительно учета кулоновского взаимодействия см.

5.

Упругое рассеяние γ -квантов дейtronом вблизи порога фоторасщепления дейтрана является примером процесса, где использование дисперсионных соотношений для анализа оклопороговой аномалии оказывается необходимым.

К немонотонностям вблизи порога приводит магнитное дипольное расщепление. Электрическое дипольное расщепление приводит к заметным изменениям энергетической зависимости амплитуды упругого γ - d -рассеяния в некоторой относительно широкой области энергий.

Амплитуда упругого γ - d -рассеяния вперед может быть представлена в виде

$$\vec{e}' \cdot M \cdot \vec{e} = A(\vec{e} \cdot \vec{e}') + iB(\vec{s}[\vec{e}' \cdot \vec{e}]) + \frac{1}{2}C[(\vec{s}\vec{e})(\vec{s}\vec{e}') + (\vec{s}\vec{e}')(\vec{s}\vec{e})] + \frac{1}{2}\mathfrak{D}[(\vec{s}[\vec{k} \cdot \vec{e}]) (\vec{s}[\vec{k}' \cdot \vec{e}]) + (\vec{s}[\vec{k}' \cdot \vec{e}']) (\vec{s}[\vec{k} \cdot \vec{e}])]. \quad /37/$$

Сечение рассеяния неполяризованных γ -квантов неполяризованными дейтранами при этом имеет вид

$$\sigma_s(\omega) = |A + \frac{2}{3}C + \frac{2}{3}\mathfrak{D}|^2 + \frac{1}{18}|C + \mathfrak{D}|^2 + \frac{2}{3}|B|^2 + \frac{1}{3}|\mathfrak{D} - C|^2, \quad /38/$$

причем

$$K \sigma_t = 4\pi \operatorname{Im}(A + \frac{2}{3}C + \frac{2}{3}\mathfrak{D}).$$

С помощью дисперсионного соотношения для величины $L = A + \frac{2}{3}C + \frac{2}{3}\mathfrak{D}$

$$\operatorname{Re} L(\omega) = -\frac{e^2}{M_d} + \frac{2}{\pi}\omega^2 P \int_{\omega_d}^{\infty} \frac{\operatorname{Im} L(\omega')}{\omega'(\omega'^2 - \omega^2)} d\omega', \quad /39/$$

где ω_d - порог фоторасщепления дейтрана, рассмотрим влияние неупругих процессов на энергетическую зависимость реальной части амплитуды L .

При вычислении дисперсионного интеграла удобно использовать теоретические выражения для сечений фоторасщепления дейтрана /см. например^{/8/}.

Начнем с рассмотрения "локальных эффектов". Выражение для сечения магнитного дипольного расщепления

$$\sigma_c^{(m)} = \frac{2\pi}{3} \frac{e^2}{mc} \left(\frac{k}{Mc}\right)^2 (\mu_p - \mu_n)^2 \frac{(\gamma-1)^{\frac{1}{2}} \left(1 + \sqrt{\frac{\epsilon'}{|\epsilon|}}\right)^2}{\gamma \left[\gamma - 1 + \frac{\epsilon'}{|\epsilon|}\right]} , \quad /40/$$

где $\gamma = \frac{\omega}{|\epsilon|}$, ω - энергия фотона; $|\epsilon| = 2,22$ Мэв и $\epsilon' \approx 70$ Кэв
энергии связи н-р системы в 3S_1 и 1S_0 чистых состояниях, а остальные
обозначения обычны, из-за множителя $\left[\gamma - 1 + \frac{\epsilon'}{|\epsilon|}\right]^{-1}$ не допускает простого
аналитического продолжения

$$x = \sqrt{\gamma - 1} \rightarrow i|x| ,$$

так как в этом случае аналитическое продолжение $\gamma \sigma_c^{(m)}$ обращается ниже
порога в бесконечность при

$$|x|^2 = \frac{\epsilon'}{|\epsilon|} .$$

Подстановка /40/ в дисперсионный интеграл

$$Z_L(\gamma_0) = \epsilon \cdot \frac{e^2}{2\pi^2} P \int_1^\infty \frac{dy}{y^2 - \gamma_0^2} \sigma_c^{(m)}(y)$$

дает при $\gamma_0 \neq \delta$

$$\frac{Z_L(\gamma_0)}{(e^2/2mc^2)} = \frac{2\epsilon}{3mc^2} (\mu_p - \mu_n)^2 \left(1 + \sqrt{\frac{\epsilon'}{|\epsilon|}}\right)^2 \left\{ \frac{\sqrt{1-\gamma_0}}{\delta - \gamma_0} \theta(1-\gamma_0) + \frac{\sqrt{1+\gamma_0}}{\delta + \gamma_0} - \frac{2}{\delta} - \frac{2\gamma_0^2}{\delta(\delta^2 - \gamma_0^2)} \sqrt{\frac{\epsilon'}{|\epsilon|}} \right\} , \quad /41/$$

где

$$\delta = 1 - \frac{\epsilon'}{|\epsilon|} , \quad \theta(x) = \begin{cases} 1 & x \geq 1 \\ 0 & x < 1 \end{cases}$$

При $\gamma_0 = \delta$

$$\frac{Z_L(\delta)}{(e^2/2mc^2)} = \frac{2\epsilon}{3mc^2} (\mu_p - \mu_n)^2 \left(1 + \sqrt{\frac{\epsilon'}{|\epsilon|}}\right)^2 \left\{ \frac{\sqrt{1+\delta}}{2\delta} - \frac{2}{\delta} + \frac{2}{3\delta} \sqrt{\frac{\epsilon'}{|\epsilon|}} + \frac{1}{2} \sqrt{\frac{|\epsilon|}{\epsilon'}} \right\} , \quad /41'$$

Зависимость $\Delta_L(\gamma_0) = \frac{Z_L(\gamma_0)}{(e^2/2mc^2)}$ от энергии γ - квантов представлена на
рисунке /кривая 1/.

Для предельных значений γ_0 из /41/ получаем

$$\Delta_L(\gamma_0) \cong \frac{2\epsilon}{3mc^2} (\mu_p - \mu_n)^2 \left(1 + \sqrt{\frac{\epsilon'}{|\epsilon|}}\right)^2 \frac{1}{4} \gamma_0^2 \quad /42/$$

для $\gamma_0 \ll 1$, и

$$\Delta_L(\gamma_0) = -\frac{4}{3} \cdot \frac{\epsilon}{mc^2} (\mu_p - \mu_n)^2 \left(1 + \frac{\sqrt{\epsilon'}}{|\epsilon|}\right)^2$$

/43/

при $\gamma_0 \gg 1$.

На пороге фоторасщепления при $1 - \delta = \frac{1}{30}$

$$Z_L(1) = 0,24 \frac{e^2}{2mc^2}.$$

Полуширина со стороны энергий, меньших пороговой, составляет несколько меньше ϵ' , т.е. около 50-60 Кэв.

Вклад в $D = ReL$ сечения дипольного поглощения

$$G_c(d) = 4\pi \frac{e^2}{mc^2} \frac{\hbar c}{\epsilon} \frac{(\delta-1)^{3/2}}{\gamma^3}$$

/44/

имеет вид

$$\frac{Z_p(\gamma_0)}{(e^2/2mc^2)} = \Delta_p(\gamma_0) = 2 \left\{ \gamma_0^{-2} \left[(1-\gamma_0)^{3/2} \theta(1-\gamma_0) + (1+\gamma_0)^{3/2} - 2 \right] - \frac{3}{4} \right\}. \quad /45/$$

Зависимость $\Delta_p = \Delta_p(\gamma_0)$ приведена на рисунке /кривая II/. При $\gamma_0 \ll 1$

$$\Delta_p(\gamma_0) = \frac{3}{32} \gamma_0^{-2},$$

/46/

а при $\gamma_0 \gg 1$

$$\Delta_p(\gamma_0) = -\frac{3}{2}.$$

/47/

На пороге фоторасщепления

$$\Delta_p(1) = 0,156.$$

Суммарное влияние дипольного и магнитного дипольного расщепления на реальную часть амплитуды L представлено на рисунке /кривая 3/. На самом пороге учет фоторасщепления приводит к изменению в амплитуде почти на 40%.

Из /42/ и /46/ виден вклад фоторасщепления дейтрана в поляризуемость дейтрана.

Так как величина сечения фоторасщепления дейтрона при больших энергиях больше суммы /40/ и /44/, полученные оценки можно считать нижней границей величин, хотя вклад больших энергий невелик.

Проведенное здесь для одной амплитуды γ - d рассеяния рассмотрение может служить указанием на то, что учет влияния неупругих процессов, и в первую очередь фоторасщепления дейтрона, при анализе упругого γ - d -рассеяния может оказаться существенным в широкой области энергий.

Подобные явления естественно должны иметь место и при рассеянии γ -квантов более тяжелыми ядрами.

Исследование упругого рассеяния γ -квантов ядрами показывает ^{/8/}, что для целого ряда элементов вблизи порога (γ n) реакции сечение ядерного рассеяния γ -квантов характеризуется заметной величины пиком с энергетической шириной $\approx \pm 2$ Мэв, который, по-видимому, связан околовороговыми немонотонностями.

Дальнейшее улучшение точности экспериментальных данных об упругом рассеянии γ -квантов и энергетической зависимости сечений (γ n)-реакций вблизи порога представляется необходимым для более надежного анализа этого явления.

Рукопись поступила в издательский отдел
25 января 1960 года.

Цитированная литература

1. Л.И.Лапидус, Чжоу Гуан-чжао. ЖЭТФ, 37, 1714 /1959/;
ЖЭТФ, 201, /1960/.
2. R.H.Capps, W.G.Holladay. Phys.Rev., 99, 931 (1955), Appendix B.
3. F.Rohrlich, R.L.Gluckstern. Phys.Rev., 86, 1 (1952).
4. А.Ахиезер, В.Брестецкий. Квантовая электродинамика, § 55 ГИФМЛ /1959/.
5. R.Karplus, M.Neuton. Phys.Rev., 83, 776 (1951).
6. А.И. Базъ. ЖЭТФ, 1762, 36, /1959/.
7. L.Fonda, G.Newton. Ann. of Phys. 7, 133 (1959).
8. А.И. Ахиезер, И.Я. Померанчук. Некоторые вопросы теории ядра, §§ 11,
12 ГИТТЛ /1958/.
9. E.C.Fuller, E.Hayward. Phys.Rev., 101, 692 (1955).

